

# НАУЧНО-ТЕХНИЧЕСКИЕ ПРОБЛЕМЫ ГОРЕНИЯ И ВЗРЫВА

№ 1

1965

*A. Г. Мержанов, A. Г. Струнина*  
(Москва)

## ЗАКОНОМЕРНОСТИ ТЕПЛОВОГО ВЗРЫВА В УСЛОВИЯХ НАГРЕВА С ПОСТОЯННОЙ СКОРОСТЬЮ

Обычно тепловой взрыв изучают в статических условиях при постоянной во времени температуре  $T_0$  окружающей среды. Динамические режимы явления (переменная  $T_0$ ) практически не изучены.

В данной работе будут рассмотрены результаты теоретического исследования закономерностей теплового взрыва при переменных внешних температурных условиях (нагрев, охлаждение, периодические изменения температуры). Исследование динамических режимов теплового взрыва представляет интерес с различных точек зрения: теоретической (развитие квазистационарной теории [1, 2]), методической (возможность создания динамических экспериментальных методов быстрого приближенного измерения характеристик) и практической (определение характеристик теплового взрыва в различных конкретных условиях изменения  $T_0$ , имеющих место на практике [3]).

### 1. СИСТЕМА УРАВНЕНИЙ. ОСНОВНЫЕ ПАРАМЕТРЫ ЗАДАЧИ

Запишем исходную систему уравнений в виде:

$$\text{Уравнение теплового баланса} \quad c p \frac{d T}{d t} = Q k_0 e^{-\frac{E}{RT}} \cdot \varphi(\eta) - \alpha S/V (T - T_0). \quad (1)$$

$$\text{Уравнение химической кинетики} \quad \frac{d \eta}{dt} = k_0 e^{-\frac{E}{RT}} \cdot \varphi(\eta). \quad (2)$$

$$\text{Закон изменения температуры окружающей среды} \quad T_0 = T_{\text{н}} + w \cdot t. \quad (3)$$

Начальные условия:  $t = 0$ ,  $T = T_0 = T_{\text{н}}$ ,  $\eta = 0$ .  
Обозначения:

$T_0$  — температура окружающей среды;  $T$  — температура в зоне реакции;  $T_{\text{н}}$  — начальная температура системы;  $\eta$  — глубина превращения;  $t$  — время;  $\alpha$  — коэффициент теплоотдачи;  $S$  — поверхность, отдающая тепло;  $V$  — реакционный объем;  $Q$  — теплота реакции;  $E$  — энер-

гия активации;  $k_0$  — предэкспонент;  $c$  — удельная теплоемкость;  $\rho$  — плотность;  $\varphi(\eta)$  — функция, выражающая закон протекания реакции в изотермических условиях;  $w$  — скорость нагрева.

В случае, когда в зоне реакции отсутствует распределение температур (например, при слабом теплообмене с окружающей средой [4]),  $\alpha$  представляет собой коэффициент теплоотдачи от поверхности заряда (или от внутренней поверхности реакционного сосуда — для жидкостей) в окружающую среду. При наличии распределения температур  $T$  и  $\eta$  имеют смысл усредненных по объему величин [5, 6], а  $\alpha$  представляет собой эффективный коэффициент теплоотдачи.

Преобразуем систему (1)–(3) к безразмерному виду. Для этого введем безразмерные температуры

$$\Theta = \frac{E}{RT_*^2} (T - T_*),$$

$$\Theta_0 = \frac{E}{RT_*^2} (T_0 - T_*),$$

(где  $T_*$  — критическая температура теплового взрыва в статических условиях для данной задачи величина известная) и исключим из рассмотрения время заменой

$$t = \frac{T_0 - T_h}{w}.$$

Тогда система (1)–(3) будет иметь вид:

$$w\gamma \frac{d\Theta}{d\Theta_0} = e^{\frac{\Theta}{1+\beta\Theta}} \cdot \varphi(\eta) - \frac{1}{\kappa_*} (\Theta - \Theta_0), \quad (4)$$

$$w \frac{d\eta}{d\Theta_0} = e^{\frac{\Theta}{1+\beta\Theta}} \cdot \varphi(\eta). \quad (5)$$

Начальные условия: при  $\Theta_0 = -\Theta_h$ ,  $\Theta = -\Theta_h$ ,  $\eta = 0$ , где

$$w = \frac{w}{k_0 e^{-E/RT_*}} \cdot \frac{E}{RT_*^2}; \quad \kappa_* = \frac{Q}{\alpha S/V} \cdot \frac{E}{RT_*^2} \cdot k_0 e^{-E/RT_*}$$

$$\Theta_h = \frac{E}{RT_*^2} (T_h - T_*); \quad \beta = \frac{E}{RT_*}; \quad \gamma = \frac{c_p}{Q} \cdot \frac{RT_*^2}{E}. \quad (6)$$

Величина  $\kappa_*$  представляет собой критическое значение параметра  $\kappa$  в статических условиях и в соответствии с теорией теплового взрыва зависит от вида функции  $\varphi(\eta)$ . Для простых несамоускоряющихся реакций  $\kappa_* \approx \frac{1}{e}$  (без учета поправки на выгорание); для автокатализитических реакций 1-го порядка  $\kappa_* = \frac{4}{e(1 + \eta_0)^2}$ . Параметры  $\beta$  и  $\gamma$ , как известно из теории теплового взрыва, оказывают слабое влияние на характеристики процесса. Величина  $\Theta_h$  для наиболее интересных случаев, когда реакцией при  $T_h$  можно пренебречь, несущественна. Таким образом, основным параметром в данной задаче является скорость нагрева  $w$  (динамический аналог хорошо известного в статической теории критерия Франк-Каменецкого  $\delta$ ).

Система (4)–(5) решалась численно на электронно-счетной машине по схеме Рунге — Кутта, а также после некоторых упрощений анали-

тически. Исследовались зависимости  $\Theta = \Theta(\Theta_0, \omega)$  и  $\eta = \eta(\Theta_0, \omega)$  и связанные с ними характеристики теплового взрыва в широком диапазоне изменения  $\omega$ .

## 2. КАРТИНА ЯВЛЕНИЯ И ОСНОВНЫЕ ХАРАКТЕРИСТИКИ

Если реакция при  $\Theta_n$  незначительна, то при линейном нагреве в системе устанавливается стационарное запаздывание температуры по отношению к температуре окружающей среды, величина которого, как видно из уравнения (4), равна

$$(\Theta - \Theta_0) = -x_* \omega \gamma.$$

При дальнейшем нагреве начинается тепловыделение от реакции, запаздывание исчезает и температура в системе обгоняет температуру в окружающей среде (рис. 1). Специфическая особенность динамических режимов теплового взрыва (см. рис. 1) — наличие критической скорости нагрева  $\omega_*$ . При  $\omega < \omega_*$  реакция протекает до конца спокойно с небольшим разогревом, а при  $\omega > \omega_*$  завершается взрывом. Наличие  $\omega_*$  связано с уменьшением скорости реакции по мере выгорания вещества, с одной стороны, и ускорением реакции за счет увеличения температуры, с другой. При  $\omega < \omega_*$  превалирует выгорание, при  $\omega > \omega_*$  — тепловое ускорение реакции. В случае, если выгорание отсутствует (модель реакции нулевого порядка) реакция при нагреве завершается взрывом при любых  $\omega$  ( $\omega_*$  не существует). Следует отметить, что в статических режимах теплового взрыва выгорание оказывает слабое влияние на критические условия.

При  $\omega < \omega_*$  характер кривой разогрева не отличается от дифференциальной термограммы невзрывной экзотермической реакции. Основные характеристики (см. рис. 1) — максимальный разогрев  $\Delta\Theta_{\max}(\omega)$ , температура окружающей среды  $\Theta_{\infty}(\omega)$  и глубина превращения  $\eta_{\max}(\omega)$ , соответствующие максимуму разогрева.

При  $\omega > \omega_*$  основной характеристикой процесса является  $\Theta_{\infty}(\omega)$  (аналог периода индукции) — температура окружающей среды, при которой наступает взрыв.

Вблизи предела также, как и в статических режимах [6], наблюдается некоторая переходная область от одного режима к другому; однако в динамических режимах этот переход осуществляется более резко.

## 3. КВАЗИСТАЦИОНАРНОЕ ПРИБЛИЖЕННОЕ РЕШЕНИЕ ЗАДАЧИ

Аналитическое решение задачи получим, проведя:

а) преобразование производных, основанное на представлениях о вынужденном квазистационарном режиме [2] (предположение о малости величины  $\frac{d(\Theta - \Theta_0)}{d\Theta_0}$ );

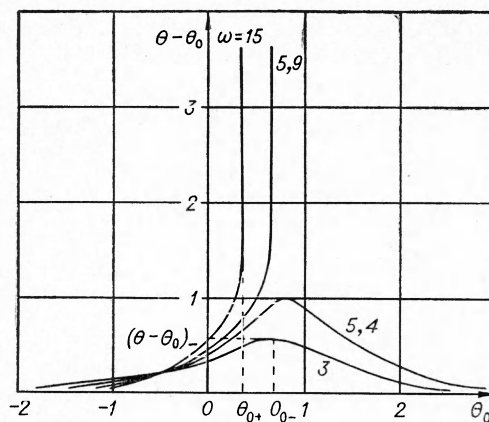


Рис. 1. Разогрев системы  $(\Theta - \Theta_0)$  с ростом  $\Theta_0$  для различных  $\omega$ .

б) преобразование экспоненциального члена по Франк-Каменецкому [5]

$$e^{\frac{\Theta}{1+\beta\Theta}} \approx e^\Theta.$$

Рассмотрим сначала 1-е квазистационарное приближение.

При  $\frac{d(\Theta - \Theta_0)}{d\Theta_0} \approx 0$  система уравнений (4)–(5) примет вид:

$$e^\Theta \cdot \varphi(\eta) - \frac{1}{\omega_*} (\Theta - \Theta_0) - \omega\gamma = 0, \quad (7)$$

$$\omega \frac{d\eta}{d\Theta} = e^\Theta \cdot \varphi(\eta). \quad (8)$$

Начальные условия:  $\Theta_0 = -\Theta_n$ ;  $\Theta = -\Theta_n$ ,  $\eta = 0$ . Схема решения системы (7)–(8) и расчета характеристик такова. Интегрируя (8), получаем связь между  $\eta$  и  $\Theta$ , которая с учетом несущественности реакции при  $\Theta = -\Theta_n$  имеет вид

$$\omega \int_0^\eta \frac{dt}{\varphi(t)} = e^\Theta \text{ или } \varphi(\eta) = F\left(\frac{1}{\omega} e^\Theta\right). \quad (9)$$

Подставляя (9) в (7), получим

$$e^\Theta \cdot F\left(\frac{1}{\omega} e^\Theta\right) - \frac{1}{\omega_*} (\Theta - \Theta_0) - \omega\gamma = 0.$$

Или, обозначая для удобства  $\frac{1}{\omega} e^\Theta = \vartheta$ ,

$$\vartheta F(\vartheta) - \frac{1}{\omega_* \omega} (\Theta - \Theta_0) - \gamma = 0. \quad (10)$$

Из этого уравнения, связывающего разогрев с температурой в зоне реакции, можно рассчитать все основные характеристики теплового взрыва.

Определим сначала характеристики под пределом. Максимум  $\Delta\Theta = \Theta - \Theta_0$  и соответствующие ему значения  $\Theta_-$  и  $\Theta_{0-}$  найдем, дифференцируя (10) по  $\Theta_0$  и полагая  $\frac{d(\Theta - \Theta_0)}{d\Theta_0} = 0$

$$F(\vartheta_-) + \vartheta_- F'(\vartheta_-) = 0. \quad (10')$$

Отсюда  $\vartheta_- = a$ , где  $a$  зависит только от вида кинетической функции  $\varphi(\eta)$ . Таким образом, получаем:

$$\Theta_- = \ln a \omega; \quad (11)$$

$$\Delta\Theta_- = \omega_* \omega [a F(a) - \gamma]; \quad (12)$$

$$\Theta_{0-} = \ln a \omega - \omega_* [a F(a) - \gamma]. \quad (13)$$

Величины  $\Theta_-$ ,  $\Delta\Theta_-$  и  $\Theta_{0-}$  как видно из (13), существуют при значениях  $\omega < \omega_*$ . Выражение для критической скорости нагрева  $\omega_*$ , найденное из условия  $\frac{d\Theta_{0-}}{d\omega} = 0$  имеет вид

$$\omega_* = \frac{1}{\omega_* [a F(a) - \gamma]}. \quad (14)$$

Подставляя (14) в (11)–(13), получаем предельные значения  $\Theta_{\infty}$ ,  $\Delta\Theta_{\infty}$ :

$$\Theta_{\infty} = \ln \frac{a}{\zeta_* [a F(a) - \gamma]}; \quad (15)$$

$$\Delta\Theta_{\infty} = 1; \quad (16)$$

$$\Theta_{0*} = \ln \frac{a}{\zeta_* [a F(a) - \gamma]} - 1. \quad (17)$$

Следует отметить, что понятие предвзрывного разогрева  $\Delta\Theta_{\infty}$  (а следовательно, и  $\Theta_{\infty}$ ) существует только в стационарных и квазистационарных теориях. Нестационарные исследования показывают, что благодаря наличию переходной области предвзрывного разогрева как такового не существует (подробнее см. в [6]).

За  $\Theta_{0+}$  при  $\omega > \omega_*$  примем величину  $\Theta_0$ , соответствующую разогреву, равному предвзрывному, т. е.  $\Theta_{0+} \approx \Theta_0 (\Delta\Theta_{\infty})$ . Оценка ошибки, связанной с этим допущением, приведена ниже (см. табл. 4). Подставляя (16) в (10), получаем:

$$\vartheta_+ F(\vartheta_+) = \frac{1}{\zeta_* \omega} + \gamma$$

или

$$\vartheta_+ = \psi \left( \frac{1}{\zeta_* \omega} + \gamma \right), \quad (18)$$

отсюда

$$\Theta_{0+} = \ln \left[ \omega \cdot \psi \left( \frac{1}{\zeta_* \omega} + \gamma \right) \right] - 1. \quad (19)$$

Глубина превращения вещества, как характеристика процесса, может быть получена из выражения (9)

$$\omega < \omega_* \quad \varphi(\eta_-) = F(a);$$

при

$$\omega > \omega_* \quad \varphi(\eta_+) = F \left[ \psi \left( \frac{1}{\zeta_* \omega} + \gamma \right) \right].$$

Такова схема расчета характеристик в первом квазистационарном приближении. Значения рассматриваемых функций для различных кинетических выражений приведены в табл. 1.

Таблица 1  
Значения  $\varphi(x)$ ,  $F(x)$ ,  $a$ ,  $\psi(x)$  для различных реакций

	Молекулярная	Бимолекулярная	Автокатализическая
$\varphi(x)$	$1 - x$	$(1 - x)^2$	$(1 - x)(x + \eta_0)$
$F(x)$	$e^{-x}$	$\frac{1}{(1 + x)^2}$	$\frac{\eta_0 (1 + \eta_0)^2 \cdot e^{(1 + \eta_0) \cdot x}}{[1 + \eta_0 e^{(1 + \eta_0) \cdot x}]^2}$
$a$	1	1	$\frac{\nu}{1 + \eta_0}$
$\psi(x)$	$\psi(x) e^{-\psi x} = x$	$x \cdot (\psi(x) + 1)^2 = \psi(x)$	$\eta_0 (1 + \eta_0)^2 \cdot \psi(x) e^{(1 + \eta_0) \psi(x)} =$ $= x (\eta_0 e^{(1 + \eta_0) \psi(x)} + 1)^2$

\*  $\nu$  находится из трансцендентного уравнения  $\eta_0 e^\nu = \frac{\nu + 1}{\nu - 1}$ .

Рассмотрим теперь более точное 2-е квазистационарное приближение. Положим, что

$$\frac{d \Delta \Theta}{d \Theta_0} \approx \frac{d \Delta \Theta}{d \Theta} \neq 0,$$

тогда

$$\frac{d \Theta}{d \Theta_0} = 1 + \frac{d \Delta \Theta}{d \Theta}, \quad \frac{d \eta}{d \Theta_0} = \frac{d \eta}{d \Theta} \left( 1 + \frac{d \Delta \Theta}{d \Theta} \right).$$

Величину  $\frac{d \Delta \Theta}{d \Theta}$  получим из 1-го приближения, дифференцируя (10) по  $\Theta$ :

$$\frac{d \Delta \Theta}{d \Theta} = z_* \omega \vartheta [F(\vartheta) + \vartheta F'(\vartheta)].$$

Уравнения теплового баланса будем рассматривать в рамках 1-го квазистационарного приближения, так как роль члена, выражающего теплоакопление в уравнении (7), мала и уточнять его не имеет смысла.

Расчет характеристик проведем для простоты на примере мономолекулярной реакции. Уточненная квазистационарная система уравнений имеет вид:

$$\vartheta (1 - \eta) - \frac{1}{z_* \omega} \Delta \Theta - \gamma = 0, \quad (20)$$

$$\frac{d \eta}{d \vartheta} \cdot [1 + z_* \omega \vartheta e^{-\vartheta} (1 - \vartheta)] = 1 - \eta. \quad (21)$$

Начальные условия:  $\vartheta = \frac{1}{\omega} e^{-\Theta_0} \approx 0$ ,  $\eta = 0$ . Интегрируя (21), получаем

$$1 - \eta = e^{-I(\vartheta, z_*, \omega)},$$

где

$$I(\vartheta, z_*, \omega) = \int_0^{\vartheta} \frac{dt}{1 + z_* \omega t e^{-t} (1 - t)}.$$

Подставляя в (20), получаем:

$$\vartheta e^{-I(\vartheta, z_*, \omega)} - \frac{1}{z_* \omega} \Delta \Theta - \gamma = 0.$$

Дальнейшая схема расчета аналогична вышеизложенной. Выражения для характеристик приведены в табл. 2.

Таблица 2

Характеристики теплового взрыва для мономолекулярной реакции (2-е квазистационарное приближение)

Под пределом	$\Theta_{0-}$	$\Theta_{0-} = \ln \omega - \frac{z_* \omega}{e} e^{0,1 z_* \omega} + z_* \omega \gamma$
	$\Delta \Theta_-$	$\Delta \Theta_- = \frac{z_* \omega}{e} e^{0,1 z_* \omega} - z_* \omega \gamma$
	$\eta_-$	$\eta_- = 1 - e^{0,1 z_* \omega} - 1$
На пределе	$\omega_* = 1,9e \quad \Theta_{0*} = 0,8 \quad \Delta \Theta_* = 0,83 \quad \eta_* = 0,56$	

Продолжение табл. 2.

Над пределом	$\theta_{0+} \left  \begin{aligned} & \exp \left\{ \theta_+ - \frac{1}{\omega} e^{\theta_+} + \chi \omega \left[ e^{\frac{1}{\omega} e^{\theta_+}} \left( 1 + \frac{1}{\omega} e^{\theta_+} + \frac{1}{\omega^2} e^{2\theta_+} \right) - 1 \right] \right\} = \\ & = \frac{0,83}{\chi} + \omega \gamma, \quad \text{где } \theta_+ = 0,83 + \theta_{0+} \end{aligned} \right.$
	$\eta_+ \left  \begin{aligned} & \eta_+ = 1 - \exp \left\{ - \frac{1}{\omega} e^{\theta_+} + \chi \omega \cdot \left[ e^{\frac{1}{\omega} e^{\theta_+}} \cdot \left( 1 + \frac{1}{\omega} e^{\theta_+} + \right. \right. \right. \\ & \left. \left. \left. + \frac{1}{\omega^2} e^{2\theta_+} \right) - 1 \right] \right\} \end{aligned} \right.$

#### 4. ПСЕВДОИЗОТЕРМИЧЕСКОЕ ПРИБЛИЖЕНИЕ

Рассмотрим еще одно более простое приближение. Из теории Семенова вытекает, что наименьшая скорость реакции, удовлетворяющая условию взрыва

$$W(T_0) = \frac{1}{e} \cdot \frac{\alpha S/V}{Q} \cdot \frac{RT_0^2}{E}.$$

Или в безразмерном виде

$$\omega \cdot \frac{d\eta}{d\theta_0} = \frac{1}{e \chi_*}.$$

Значение  $\frac{d\eta}{d\theta_0}$  получим, интегрируя уравнения

$$\omega \frac{d\eta}{d\theta_0} = e^\theta \cdot \varphi(\eta);$$

$$\varphi(\eta) = F(\theta_0); \quad \frac{d\eta}{d\theta_0} = \theta_0 F(\theta_0),$$

здесь  $\theta_0 = \frac{1}{\omega} e^{\theta_0}$ .

Из равенства

$$\theta_0 F(\theta_0) = \frac{1}{e \chi_* \omega}$$

найдем температуру, при которой достигается скорость реакции, удовлетворяющая условию взрыва

$$\theta_{0+} = \psi \left( \frac{1}{e \chi_* \omega} \right).$$

Наименьшее значение  $\theta_{0+}$  есть  $\theta_{0*}$ , а соответствующая ей скорость  $\omega_*$

$$\omega_* = \frac{1}{e \chi_* [\theta_0 F(\theta_0)]_{\max}}$$

или в соответствии с (10')

$$\omega_* = \frac{1}{e \chi_* \alpha F(a)}. \quad (22)$$

Вид функций  $\varphi$ ,  $F$  и  $\psi$  для различных типов реакций приведен в табл. 1.

Рассмотренное приближение, не учитывающее саморазогрев системы в условиях нагрева, аналогично известному в теории теплового взрыва изотермическому приближению [1].

## 5. ЧИСЛЕННОЕ ИНТЕГРИРОВАНИЕ УРАВНЕНИЙ. СРАВНЕНИЕ С ПРИБЛИЖЕННЫМИ РЕШЕНИЯМИ

Для проверки полученных приближенных формул на электронно-вычислительной машине было проведено численное интегрирование системы уравнений (4)–(5) при различных значениях параметров. Некоторые результаты численного счета вместе с вычислениями по получен-

Таблица 3

### Критические значения характеристик

Реакция		Псевдо-изотермич. приближение	1-е квазистационарное приближение	Численное решение	
				$\beta = 8$	$\beta = 0,03$
Мономолекулярная $\varphi(\eta) = 1 - \eta$	$\omega_*$	2,72	7,39	4,95	5,65
	$\Theta_{0*}$	1	1	0,72	0,83
	$\eta_*$	0,63	0,63	0,5	0,5
Автокаталитическая $\varphi(\eta) = (1 - \eta)(\eta + \eta_0)$ $\eta_0 = 0,2$	$\omega_*$	0,58	1,32	0,825	0,865
	$\Theta_{0*}$	0,174	0,174	0,1	0,16
	$\eta_*$	0,64	0,64	0,59	0,61
Автокаталитическая $\eta_0 = 0,064$	$\omega_*$	0,35	0,95	0,46	0,47
	$\Theta_{0*}$	0,086	0,11	0,07	0,09
	$\eta_*$	0,63	0,63	0,59	0,58
Автокаталитическая $\eta_0 = 0,01$	$\omega_*$	0,21	0,56	0,25	0,28
	$\Theta_{0*}$	0,04	0,04	0,05	0,08
	$\eta_*$	0,595	0,595	0,59	0,6

ным приближенным формулам приведены в табл. 3. Табл. 4, 5 дают представление о зависимости  $\Theta_{0+}$  от  $\omega$  для различных типов реакций.

Из данных табл. 3–5 можно заключить следующее:

а) истинные значения  $\omega_*$  лежат между значениями, рассчитанными в псевдоизотермическом и квазистационарном приближениях;

Таблица 4

### Зависимость $\Theta_{0+}$ от $\omega/\omega_*$ . Мономолекулярная реакция

$\omega/\omega_*$	Псевдо-изотермич. приближение	1-е квазистационарное приближение	2-е квазистационарное приближение	Численное решение	
				$\beta = 0$	
				$\Theta_{0+}$	$\Theta_0(\Delta\Theta_*)$
1,2	0,5	0,51	0,47	0,53	0,37
2	0,23	0,26	0,20	0,36	0,29
2,8	0,15	0,21	0,13	0,35	0,26
				$\Theta_{0+}$	$\Theta_0(\Delta\Theta_*)$
				0,71	0,51
				0,46	0,37
				0,42	0,32

б) 2-е квазистационарное приближение описывает все характеристики с достаточной точностью;

в) все приближения дают удовлетворительную точность определения  $T_{0+}$ . Действительно

$$\tilde{T}_{0+} = T_{0+} = \frac{RT_{0*}^2}{E} (\tilde{\Theta}_{0+} - \Theta_{0+})$$

Таблица 5  
Зависимость  $\Theta_{0+}$  от  $\omega/\omega_*$ . Автокаталитическая реакция

$\eta_0$	$\omega/\omega_0$	Псевдоизотермическое приближение	1-е квазистационарное приближение	Численное решение			
				$\beta = 0$		$\beta = 0,03$	
				$\Theta_{0+}$	$\Theta_0 (\Delta\Theta_*)$	$\Theta_{0+}$	$\Theta_0 (\Delta\Theta_*)$
0,2	1,2	0,01	0,2	0,08	0,04	0,17	0,13
	2	0,07	1,14	0,19	0,16	0,24	0,2
	2,8	0,14	1,6	0,29	0,26	0,34	0,3
0,064	1,2	0,02	0,5	0,1	0,1	0,13	0,11
	2	0,2	1,23	0,32	0,29	0,36	0,33
	2,8	0,35	1,65	0,48	0,46	0,53	0,49
0,01	1,2	0,04	0,33	0,12	0,11	0,2	0,18
	2	0,35	1,01	0,46	0,44	0,52	0,5
	2,8	0,57	1,42	0,69	0,66	0,78	0,76

(знак  $\sim$  означает приближенное значение величины). Например, при  $\frac{RT_{0*}^2}{E} = 10^\circ \text{C}$  и  $\tilde{\Theta}_{0+} - \Theta_{0+} = 0,2$  расхождение равно всего  $2^\circ$ ;

г) влияние параметра  $\beta$  на характеристики не сильное, что свидетельствует о возможности использования разложения экспоненты по Франк-Каменецкому вблизи  $T_{0*}$  в условиях нагрева.

## 6. АНАЛИЗ ЗАКОНОМЕРНОСТЕЙ ТЕПЛОВОГО ВЗРЫВА

Полученные приближенные формулы и результаты численного счета позволяют проанализировать основные закономерности теплового взрыва в условиях линейного нагрева.

### Критическая скорость нагрева $w_*$

На основе вышеизложенного можно записать:

$$w_* = b(\eta_0) \cdot \frac{RT_{0*}^2}{E} \cdot W_n(T_{0*}), \quad (23)$$

где  $W_n$  — наибольшая скорость реакции ( $\text{сек}^{-1}$ ) в изотермических условиях

$$\eta_0 > 1 \quad W_n = k_1,$$

при

$$\eta_0 < 1 \quad W_n = k_2 \cdot \frac{(1 + \eta_0)^2}{4};$$

$$b(\eta_0) = \frac{4\omega_*(\eta_0)}{(1 + \eta_0)^2}.$$

Расчет показывает, что при уменьшении  $\eta_0$  величина  $b$  уменьшается. Таким образом, при одинаковых  $W_n$   $w_*$  тем меньше, чем меньше  $\eta_0$ , т. е. чем сильнее выражено самоускорение реакции.

Из (23) видно, что  $w_*$  определяется характеристиками кинетического уравнения  $\eta_0$ ,  $E$ ,  $W_n$  и величиной  $T_{0*}$ . Зависимость  $w_*$  от таких

параметров, как  $Q$  и  $\alpha S/V$ , проявляется только через  $T_{o*}$ , которое можно найти из равенства

$$\frac{Q}{\alpha S/V} \cdot \frac{E}{RT_{o*}^2} W_n(T_{o*}) = \frac{1}{e}.$$

Чем меньше  $Q$ , чем лучше условия теплоотвода, тем больше критические скорости нагрева.

### Температура возникновения взрыва $T_{o+}$

Зависимость  $\Theta_{o+}$  от  $\omega$  для различных кинетических кривых изображена на рис. 2. Как видим, характер зависимости определяется типом кривой. Для мономолекулярной реакции температура возникновения взрыва с ростом скорости нагрева падает, приближаясь к критическому значению в статических условиях. Для автокатализитической реакции  $T_{o+}$  сначала падает, а затем растет, причем минимальное значение соответствует  $T_{o*}$ . По мере уменьшения  $\eta_0$  ниспадающий участок кривой  $T_{o+}(\omega)$  вырождается и при малых значениях  $\eta_0$  практически отсутствует. Температура возникновения взрыва на пределе при  $\omega=\omega_d$  незначительно превосходит  $T_{o*}$  (для мономолекулярной реакции на  $RT_{o*}^2/E$ , для автокатализитической — еще

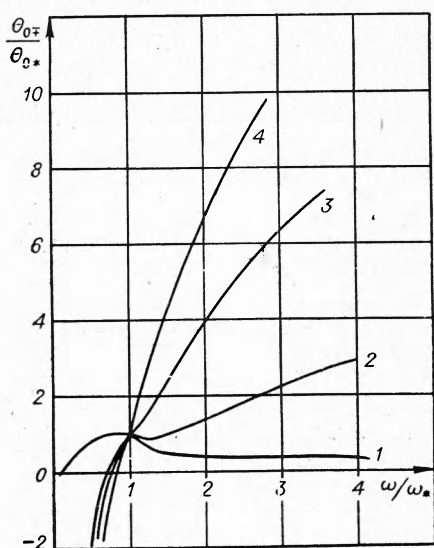


Рис. 2. Зависимость  $\frac{\Theta_{o+}}{\Theta_{o*}}$  от  $\frac{\omega}{\omega_*}$

для различных типов реакций:  
 1 — мономолекулярная реакция; 2 — автокатализитическая реакция  $\eta_0=0.2$ ; 3 — автокатализитическая реакция  $\eta_0=0.064$ ; 4 — автокатализитическая реакция  $\eta_0=0.01$ .

$T_{o+}(\omega)$ , т. е. при  $\omega < \omega_{min}$ , то взрыва не произойдет, если на восходящем ( $\omega > \omega_{min}$ ), то взрыв происходит.

Глубина превращения, соответствующая максимуму разогрева (при  $\omega < \omega_*$ ) как для мономолекулярной, так и для автокатализитической реакций, велика (больше 50%). Напомним, что в статических условиях для мономолекулярной реакции эта величина составляет всего несколько процентов, а для автокатализитической равна  $\frac{1-\eta_0}{2}$ .

Увеличение  $\eta_-$  в режиме линейного нагрева связано с наличием вынужденного квазистационарного режима.

Авторы благодарят З. Б. Майофис за проведенный на электронно-вычислительной машине счет задачи.

Поступила в редакцию  
2/XI 1964

**ЛИТЕРАТУРА**

1. А. Г. Мержанов, Ф. И. Дубовицкий. Ж. физ. хим., 1960, **34**, 10.
  2. А. Г. Мержанов. Докл. АН СССР, 1961, **140**, 3.
  3. С. А. Ловля, Л. А. Горбенко, Б. Л. Каплан. Торпедирование и перфорация скважин. М., 1959.
  4. В. В. Барзыкин, А. Г. Мержанов. Ж. физ. хим. (в печати).
  5. Д. А. Франк-Каменецкий. Диффузия и теплопередача в химической кинетике. М., 1947.
  6. В. В. Барзыкин, В. Т. Гонтковская, А. Г. Мержанов, С. И. Худяев. ПМТФ, 1964, 3.
-